

УДК 523.165

ЭНЕРГЕТИЧЕСКИЕ СПЕКТРЫ И ЗАРЯДОВЫЙ СОСТАВ ГАЛАКТИЧЕСКИХ КОСМИЧЕСКИХ ЛУЧЕЙ, ИЗМЕРЕННЫЕ В ЭКСПЕРИМЕНТЕ АТИК-2

© 2004 г. В. И. Зацепин¹, Дж. Х. Адамс мл.², Х. С. Ан³, К. Е. Батьков¹, Г. Л. Башинджагян¹,
Дж. З. Ванг³, Дж. П. Вефель⁴, Дж. Ву³, О. Ганел³, Р. Гунасингх⁵, Т. Г. Гузик⁴, Дж. Изберт⁴,
К. Ц. Ким³, М. Кристл², Е. Н. Кузнецов¹, М. И. Панасюк¹, А. Д. Панов¹, Н. В. Сокольская¹,
Э. С. Сио³, А. Фазели⁵, Дж. Чанг⁶, В. К. Х. Шмидт⁶

Баллонный эксперимент АТИК (ATIC – Advanced Thin Ionization Calorimeter) предназначен для измерения энергетических спектров галактических космических лучей с индивидуальным разрешением по заряду от протонов до железа в энергетическом интервале от 50 ГэВ до 100 ТэВ. Спектрометр АТИК состоит из полностью активного BGO-калориметра, углеродной мишени, сцинтилляционных гаммакамер и кремниевой матрицы. Впервые в космических лучах высокой энергии для измерения заряда была использована матрица кремниевых детекторов, позволившая решить проблему обратного тока путем высокой сегментации детектора заряда. АТИК совершил два успешных баллонных полета в Антарктиде: с 28.12.2000 по 13.01.2001 (тестовый полет АТИК-1) и с 29.12.2002 по 18.1.2003 (научный полет АТИК-2). В этой работе мы представляем текущее состояние анализа спектров, измеренных в научном полете АТИК-2, и сравниваем результаты с модельными предсказаниями.

1. ЭКСПЕРИМЕНТ АТИК

Описание спектрометра АТИК и метод калибровки калориметра можно найти в [1]. Реконструкция событий, калибровка детекторов кремниевой матрицы, метод определения заряда первичной частицы и достигнутое разрешение детектора заряда подробно описаны в [2, 3]. АТИК совершил два полета в Антарктиде: тестовый полет АТИК-1 и научный полет АТИК-2. Предварительные результаты о спектрах протонов и гелия из тестового полета были опубликованы в [4, 5]. В этой статье будет приведено текущее состояние анализа данных АТИК-2, в котором все системы спектрометра работали более надежно. В частности, калориметрические каналы в АТИК-2 дали лучшую согласованность между различными диапазонами усиления и были лучше откалиброваны.

2. ПЕРЕХОД К ПЕРВИЧНЫМ СПЕКТРАМ

В каждом реконструированном событии энерговыделение E_d определяется суммированием энерговыделений во всех кристаллах германата висмута

(BGO). Переход от спектра по E_d к спектру по первичной энергии E , принимая приближение, используемое для эмульсионных калориметров [6], осуществляется сдвигом по шкале энергии в k_s^{-1} раз, где

$$k_s = \int_0^1 k^{\gamma+1} f(k) dk / \int_0^1 k^\gamma f(k) dk,$$

где $f(k)$ – распределение величины $k = E_d/E$ при фиксированном E , а γ – показатель интегрального спектра. Значения k_s были получены моделированием прохождения частиц через АТИК по программе FLUKA [7] для различных ядер и интегрального степенного спектра с показателем $\gamma = 1.6$. Результаты расчета k_s не сильно зависят от выбора $\gamma = 1.6$. Для постоянной величины k_s спектральные индексы спектров по E_d и по E не различаются. Вообще говоря, величины k_s зависят от E из-за утечки через дно и бока калориметра. Наша предварительная оценка показывает, что эта зависимость слабая и приводит к укручению спектра по E_d примерно на $\Delta\gamma = 0.04$. В настоящей работе будут приведены спектральные индексы спектров по E_d без введения этой поправки, которая будет уточняться. Потоки определены по формуле

$$I = (dN/dE)/(S\Omega T \epsilon \eta W_{ef}),$$

где $S\Omega$ – геометрический фактор прибора, T – живое время экспозиции, ϵ – эффективность алгоритма реконструкции события, η – поправка на

¹ Научно-исследовательский институт ядерной физики им. Д.В. Скobelьцина Московского государственного университета им. М.В. Ломоносова.

² Центр космических исследований Маршалла, NASA, США.

³ Университет штата Мериленд, США.

⁴ Университет штата Луизиана, США.

⁵ Южный Университет, США.

⁶ Институт Макса Планка, Линдау, Германия.

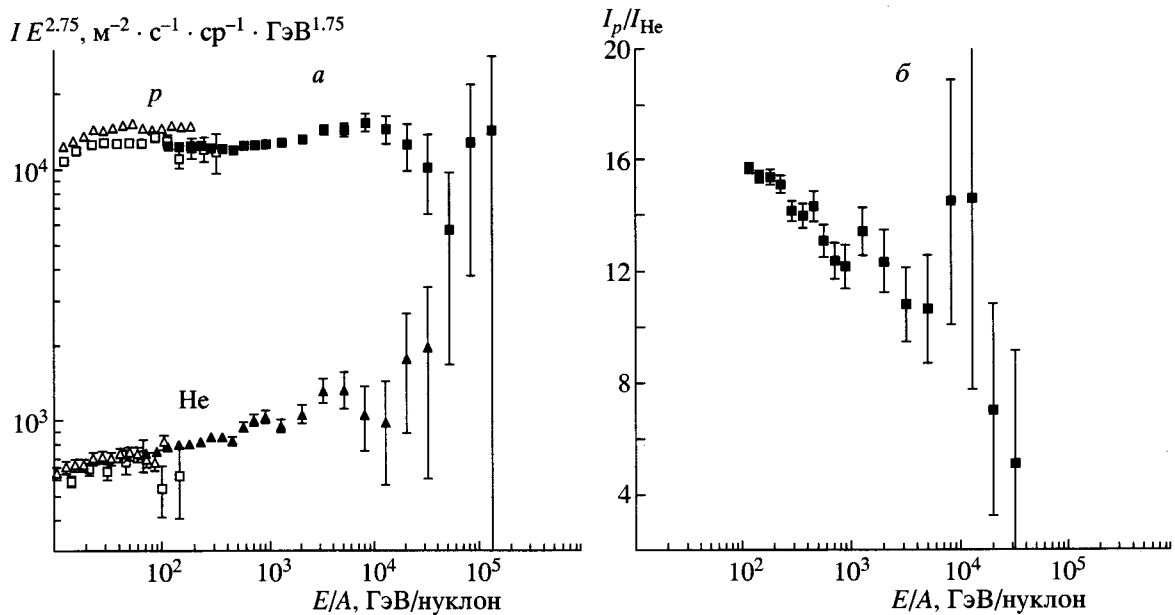


Рис. 1. Спектры протонов и гелия (а) и их отношение (б). Чёрные квадраты – АТИК, светлые треугольники – [8], светлые квадраты – [9].

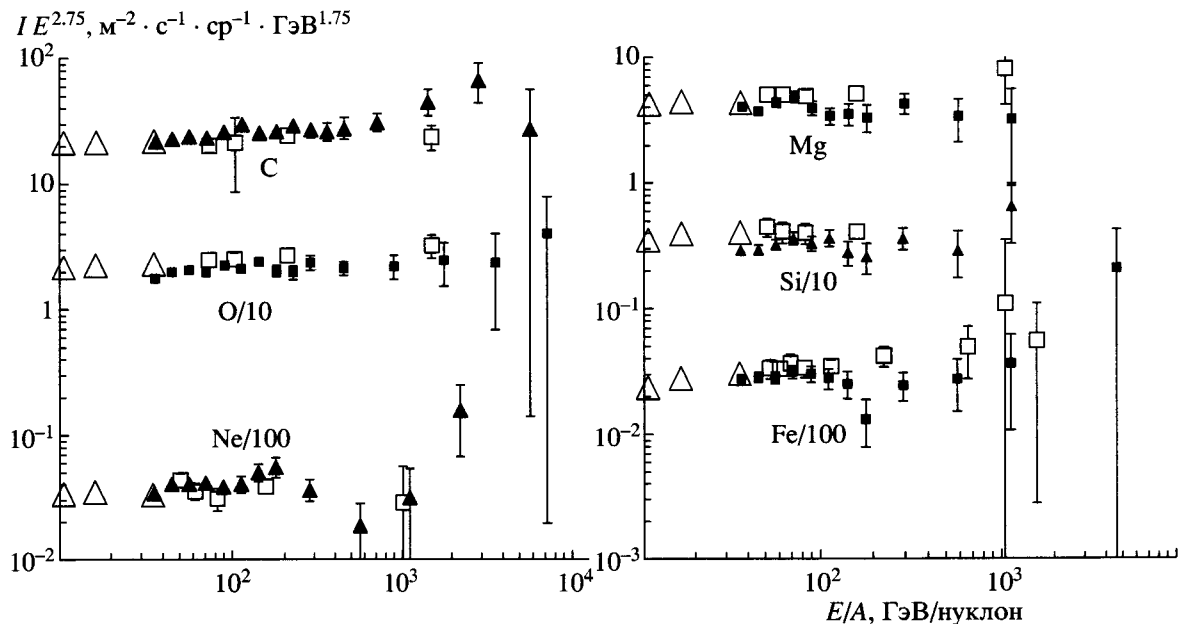


Рис. 2. Спектры ядер. Чёрные треугольники и квадраты – АТИК, светлые треугольники – [10], светлые квадраты – [11].

поглощение в остаточной атмосфере, а $W_{ef} = \int_0^1 k^\gamma f(k) dk / k_s^\gamma$ дает нормировочный коэффициент по абсолютной интенсивности между энергетическим спектром и спектром энерговыделений. Значения этих величин будут приведены в более подробной публикации.

3. РЕЗУЛЬТАТЫ

Все данные были получены для событий, траектории которых проходили через центральную

область кремниевой матрицы размером $80 \times 80 \text{ см}^2$, при полном размере матрицы $100 \times 100 \text{ см}^2$. Данные АТИК-2 в области $<30 \text{ ГэВ/нуклон}$ для ядер тяжелее гелия, в области $<50 \text{ ГэВ/нуклон}$ для гелия и $<100 \text{ ГэВ}$ для протонов здесь не приводятся из-за неэффективности триггера. На рис. 1а приведены дифференциальные спектры протонов и гелия вместе с данными AMS [8] и CAPRICE-98 [9], а на рис. 1б – отношение потоков протонов и гелия в АТИК в зависимости от энергии на нуклон.

Зарядовый состав при энергии на частицу $E > E_{th}$, ТэВ

E_{th}	p	He	CNO	Ne-S	$Z > 17$
0.1	46.4 ± 0.1	28.4 ± 0.1	10.9 ± 0.1	6.9 ± 0.2	4.0 ± 0.1
0.3	38.0 ± 0.2	27.7 ± 0.1	13.5 ± 0.1	10.2 ± 0.1	7.0 ± 0.1
0.5	35.0 ± 0.3	26.6 ± 0.2	14.1 ± 0.2	11.5 ± 0.1	9.3 ± 0.1
1	33.3 ± 0.5	26.4 ± 0.4	14.0 ± 0.3	12.0 ± 0.3	10.9 ± 0.31
2.5	$33 \pm 1 (39 \pm 3)$	$28 \pm 1 (27 \pm 2)$	$13 \pm 1 (13 \pm 1)$	$11 \pm 1 (10 \pm 1)$	$11 \pm 1 (11 \pm 1)$
5	$32 \pm 2 (37 \pm 3)$	$29 \pm 2 (28 \pm 2)$	$13 \pm 1 (14 \pm 2)$	$11 \pm 1 (9 \pm 1)$	$11 \pm 1 (12 \pm 2)$
10	$28 \pm 3 (31 \pm 5)$	$32 \pm 3 (30 \pm 4)$	$14 \pm 2 (14 \pm 3)$	$12 \pm 2 (13 \pm 3)$	$11 \pm 2 (12 \pm 3)$
25	21 ± 6	33 ± 8	19 ± 6	13 ± 4	11 ± 4

Примечание. В скобках приведены результаты СОКОЛ [12].

Если эти спектры фитировать простым степенным законом, то $\gamma_p = 2.745 \pm 0.003$ для $E > 100$ ГэВ/нуклон, $\gamma_{\text{He}} = 2.641 \pm 0.008$ для $E > 75$ ГэВ/нуклон. Приведенные ошибки – статистические. Заметим, что эти фиты определяются областью низких энергий, содержащей основную часть событий. В области высоких энергий виден значительный разброс из-за низкой статистики и эффекта разбивания на интервалы. Детальное методическое исследование тэв-ной области энергий продолжается.

На рис. 2 показаны спектры четных ядер вместе с данными HEAO-3 [10] и CRN [11]. В степенном приближении спектральные индексы равны 2.61 ± 0.02 , 2.66 ± 0.02 , 2.65 ± 0.06 , 2.80 ± 0.06 , 2.68 ± 0.07 , 2.71 ± 0.07 , соответственно для C, O, Ne, Mg, Si и Fe.

Полученные данные позволяют также рассчитать зарядовый состав ГКЛ в области энергии больше 100 ГэВ на частицу. Эти данные приведены в таблице. Не приведены данные для области зарядов от 3 до 5, так как эта область зарядов может быть сильно искажена фрагментацией более тяжелых ядер в остаточной атмосфере, а соответствующая поправка еще не введена. Там же для области > 2.5 ТэВ приведены данные эксперимента СОКОЛ [12].

4. ОБСУЖДЕНИЕ

Из приведенных данных следует, что интенсивности всех элементов находятся в разумном согласии с данными AMS [8], CAPRICE [9], HEAO-3 [10] и CRN [11]. Высокая статистическая точность данных позволила обнаружить различие спектральных индексов протонов и гелия, которое составляет $\gamma_p - \gamma_{\text{He}} = 0.104 \pm 0.0085$. Различие спектров видно также из рис. 1б, где представлено отношение протонов к гелию в зависимости от энергии на нуклон.

Хотя приведенные результаты, полученные в полете АТИК-2, предварительные, а приведенные ошибки в значениях спектральных индексов –

только статистические, уже сейчас можно обсудить, что могли бы значить для теории такие результаты, если они будут подтверждены в дальнейшем. Модель Бирмана [13] предсказывает, что полный поток космических лучей в области до “колена” является смесью двух потоков от различных источников: взрывов сверхновых в межзвездную среду (ISM-SN) и взрывов массивных сверхновых в звездный ветер звезды-предшественницы (wind-SN). Предсказывается, что после учета утечки из галактики спектральные индексы для ISM-SN и wind-SN должны быть 2.74 и 2.67 соответственно. Спектры, измеренные в АТИК-2, замечательно согласуются с этой моделью, если протоны считать доминирующими для ISM-SN, а гелий доминирует в wind-SN.

С российской стороны работа имеет поддержку РФФИ, грант № 02-02-16545. В США работа поддержана грантами НАСА.

СПИСОК ЛИТЕРАТУРЫ

1. Guzik T.G. et al. // Adv. Space. Res. 2004. V. 33. P. 1763.
2. Adams J.H., Башинджаян Г.Л., Зацепин В.И. и др. // ПТЭ. 2001. Т. 4 С. 38.
3. Zatsepin V.I. et al. // Nucl. Instrum. Methods. A. 2004. V. 524. P. 195.
4. Zatsepin V.I. et al. // Proc. 28 ICRC. Tsukuba. 2003. V. 4. P. 1829.
5. Ahn H.S. et al. // Ibid. P. 1833.
6. Barnett T.H. et al. // Nucl. Instrum. Methods. A. 1986. V. 251. P. 583.
7. Fasso' A. et al. // Proc. Monte Carlo 2000. Conf., Lisbon, 2000.
8. Alcarac J. et al. // Phys. Lett. B. 2000. V. 490. P. 27.
9. Boezio M. et al. // Astropart. Phys. 2003. V. 19. P. 583.
10. Engelmann J. et al. // Astron. Astrophys. 1990. V. 233. P. 96.
11. Muller D. et al. // Astronphys. J. 1991. V. 374. P. 356.
12. Ivanenko I.P. et al. // Proc. 23 ICRC. Calgary. 1993. V. 2. P. 17.
13. Biermann P.L. et al. // e-print astro-ph/0302201. 2003.